

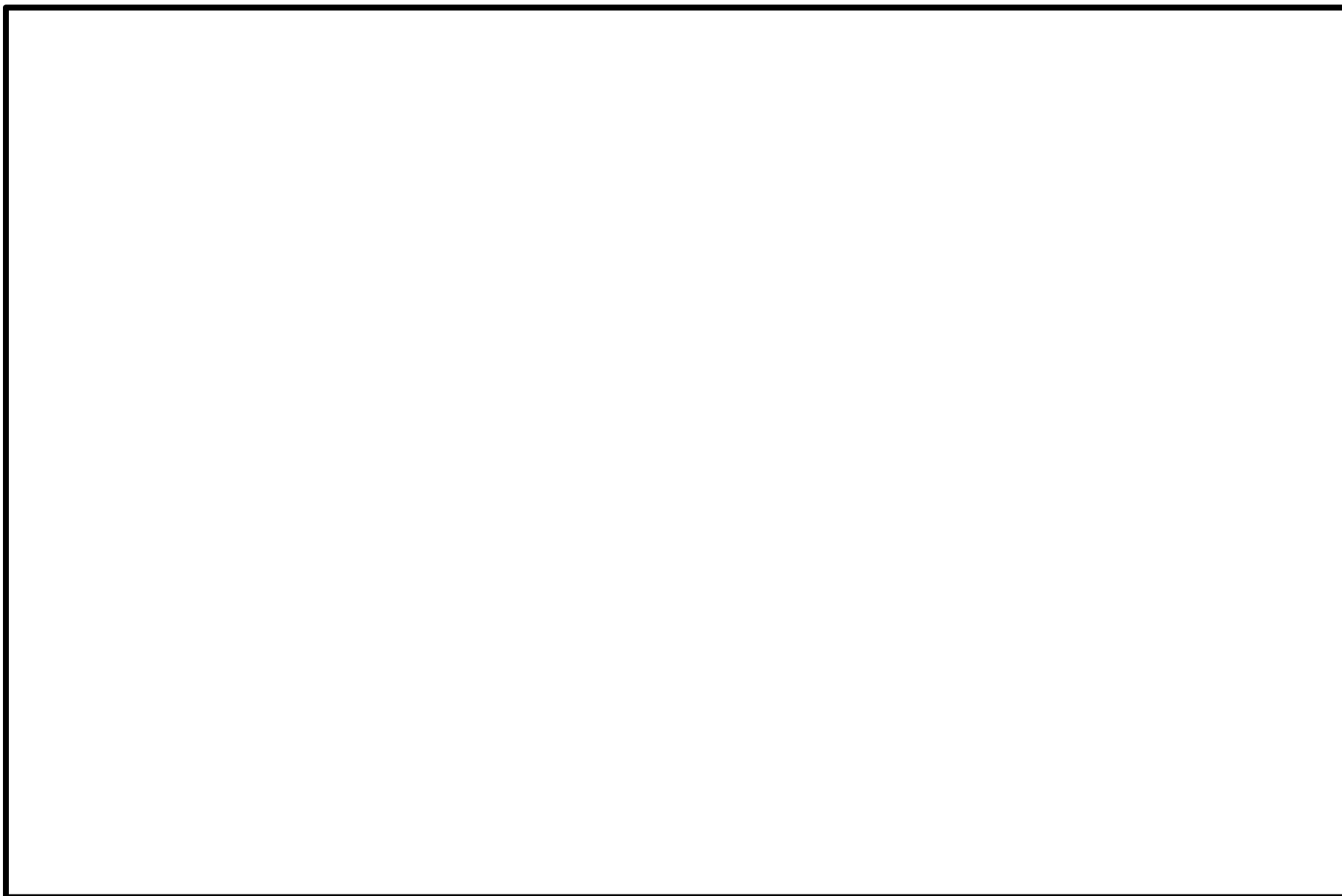
本資料のうち、枠囲みの内容は機密事項に属しますので、公開できません。

柏崎刈羽原子力発電所 6号及び7号炉

特定重大事故等対処施設に用いる基準地震動について

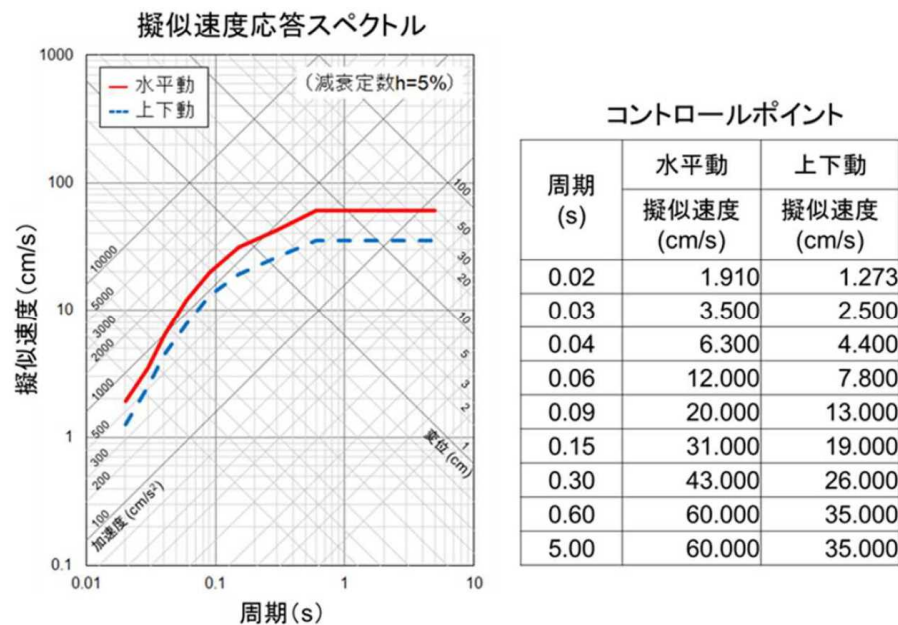
2022年4月28日
東京電力ホールディングス株式会社

1. 特定重大事故等対処施設に用いる基準地震動



2. 標準応答スペクトルに基づく評価

- 基準地震動に関しては、「実用発電用原子炉及びその附属施設の位置、構造及び設備の基準に関する規則の解釈」の改正に従い、標準応答スペクトルに基づく評価の反映を行う。
 - 2021年4月21日、原子力規制委員会において「実用発電用原子炉及びその附属施設の位置、構造及び設備の基準に関する規則の解釈等の一部改正」が決定され、震源を特定せず策定する地震動のうち全国共通に考慮すべき地震動の策定にあたっては、「震源近傍の多数の地震動記録に基づいて策定した地震基盤相当面における標準的な応答スペクトル」（以下、「標準応答スペクトル」という）を用いることが新たに規定された。
 - 柏崎刈羽原子力発電所6号及び7号炉については、2021年5月18日に基準地震動の変更が不要であることを説明する文書を提出し、2022年3月23日にその審議結果の通知を受領している。



「実用発電用原子炉及びその附属施設の位置、構造及び設備の基準に関する規則の解釈」より抜粋

3. 標準応答スペクトルに基づく評価に用いる地下構造モデルの設定

- 標準応答スペクトルは、 $V_s=2,200\text{m/s}$ 以上の地震基盤相当面において評価され、敷地の解放基盤表面とは地盤物性が異なることから、敷地において、地震基盤相当面から解放基盤表面までの地盤増幅特性を適切に考慮する必要がある。
- 標準応答スペクトルに基づく評価にあたっては、大深度地震観測記録等の最新のデータに基づき、敷地の地震基盤相当面から解放基盤表面までの速度構造及び減衰構造を適切に反映した地下構造モデルを設定して用いる。
- 梅田・小林(2010)の手法に基づき、敷地の地震基盤から地表までの増幅特性の情報を含んだ地表の観測記録を用いて、P波部H/Vスペクトル比、レシーバー関数、コーダ部H/Vスペクトル比をターゲットとした同時逆解析により評価した1次元地下構造モデルを以下に示す。
- 敷地の解放基盤表面における標準応答スペクトルを評価するために、敷地の地震基盤相当面から解放基盤表面までの地盤増幅特性を考慮するための地下構造モデルとして、これを設定する。

荒浜側

層No.	標高 (m)	層厚 (m)	密度 (t/m ³)	S波速度 (m/s)	P波速度 (m/s)	Qs [*]		Qp [*]		備考
						Qo	n	Qo	n	
	-284.0									解放基盤表面
1	-764.5	480.5	1.70	997	2210	14.91	0.89	5.27	0.61	
2	-1242.3	477.8	2.10	1500	2700	19.37	0.75	10.22	0.85	
3	-1896.3	654.0	2.30	1870	2760	11.55	0.52	9.19	0.70	
4	-2792.2	895.9	2.40	1920	4270	14.35	0.75	9.46	0.66	地震基盤相当面
5	-4081.5	1289.3	2.50	2350	4780	20.71	0.57	17.80	0.85	
6	-6469.8	2388.3	2.60	3060	5080	66.23	0.78	37.72	0.72	
7			2.70	3490	5440	66.23	0.78	37.72	0.72	

※ $Q(f)=Q_0 \times f^n$ を仮定。

大湊側

層No.	標高 (m)	層厚 (m)	密度 (t/m ³)	S波速度 (m/s)	P波速度 (m/s)	Qs [*]		Qp [*]		備考
						Qo	n	Qo	n	
	-134.0									解放基盤表面
1	-149.0	15.0	2.03	730	1800	5.00	0.85	3.33	0.90	
2	-231.0	82.0	2.03	890	1900	5.00	0.85	3.33	0.90	
3	-266.0	35.0	2.03	960	1900	5.00	0.85	3.33	0.90	
4	-300.0	34.0	2.03	1000	2100	5.00	0.85	3.33	0.90	
5	-834.5	534.5	2.10	1200	2420	14.32	0.90	6.11	0.59	
6	-1716.2	881.7	2.30	1300	2610	15.05	0.89	6.12	0.61	
7	-2613.3	897.1	2.40	1920	4270	14.35	0.75	9.46	0.66	地震基盤相当面
8	-3944.3	1331.0	2.50	2350	4780	20.71	0.57	17.80	0.85	
9	-6092.4	2148.1	2.60	3060	5080	66.23	0.78	37.72	0.72	
10			2.70	3490	5440	66.23	0.78	37.72	0.72	

※ $Q(f)=Q_0 \times f^n$ を仮定。

3. 標準応答スペクトルに基づく評価に用いる地下構造モデルの設定

- 設定した地下構造モデルにより、敷地の地震基盤相当面から解放基盤表面までの地盤増幅特性を適切に考慮できることについては、大深度地震観測記録等を用いて検証を行い、妥当性を確認した。その概要を以下に示す。
- なお、地下構造モデルの設定及びその妥当性確認の詳細については、参考資料に示す。

- 標準応答スペクトルに基づく評価における敷地の地震基盤相当面から解放基盤表面までの地盤増幅特性について、1次元地下構造モデルにより反映することが可能であることを検証により確認した。
- 敷地の褶曲構造を踏まえた上で、地震基盤相当面から解放基盤表面までの地盤増幅特性を1次元地下構造モデルにより考慮することの妥当性については、敷地の地下構造に関して継続して取得している新たなデータを活用し、大深度地震観測記録等を用いて検証を行った。

大深度地震観測記録を用いた検証

- 大深度地震観測点は、褶曲構造が見られる深度に達して設置しており、これまでに震源位置の異なる複数の観測記録が得られていることから、これらを用いて検証を実施。
- 設定した地下構造モデルの理論伝達関数は、解放基盤表面を含む浅部から大深度地震観測点まで、観測記録の伝達関数と整合していること、また、解放基盤表面を含む浅部から地震基盤まで、観測記録から推定した地震基盤波を用いた伝達関数と整合していることを確認。

ボーリング調査結果及び既往の知見等を用いた検証

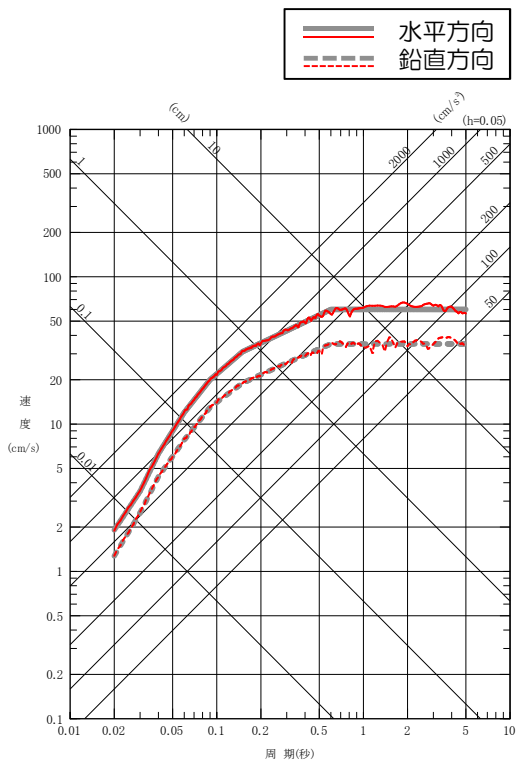
- 設定した地下構造モデルの速度構造は、大深度PS検層結果及び反射法地震探査結果等に基づく2次元地下構造モデルの速度構造と整合していることを確認。
 - 設定した地下構造モデルの速度構造及び減衰構造は、既往の知見と比較して妥当な設定となっていることを確認。
- 以上の検証を行い、設定した1次元地下構造モデルにより敷地の地震基盤相当面から解放基盤表面までの地盤増幅特性を適切に反映することが可能であることを確認した上で、解放基盤表面における標準応答スペクトルの評価にこれを用いた。

4. 標準応答スペクトルに適合した模擬地震波の作成

■ 標準応答スペクトルに適合した模擬地震波は、複数の方法により作成する。

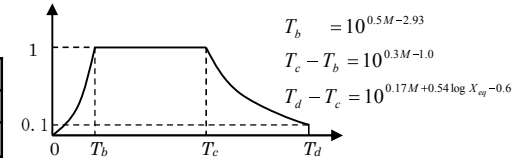
- (1) 振幅包絡線の経時変化に基づく一様乱数の位相を有する正弦波の重ね合わせによる模擬地震波
- 振幅包絡線の経時変化：Noda et al.(2002)に基づく形状
 - 応答スペクトル比：0.85以上
 - 応答スペクトル強さの比（SI比）：1.0以上

標準応答スペクトルとの適合



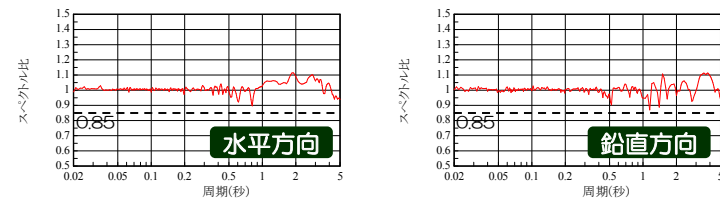
振幅包絡線の経時変化

地震規模 M	等価震源距離 Xeq(km)	振幅包絡線の経時変化 (秒)		
		T _b	T _c	T _d
7.0*	10	3.72	16.31	29.80



※ 敷地周辺で発生した2007年新潟県中越沖地震の地震規模* (M6.8, Mw6.6) 及び震源を特定せず策定する地震動のうち全国共通に考慮すべき地震動の地震規模 (Mw6.5程度未満) を踏まえた上で、保守的にM7.0を設定。
*気象庁, F-netによる。

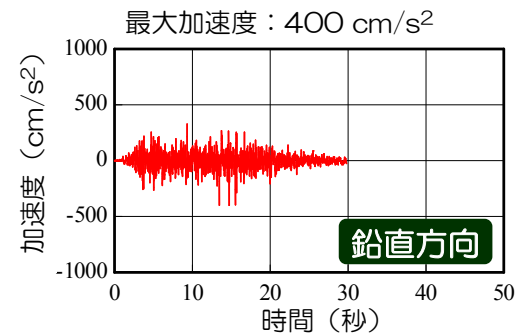
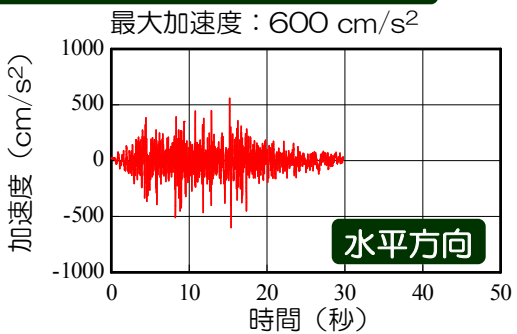
応答スペクトル比



SI比

	SI比
水平方向	1.04
鉛直方向	1.01

作成した模擬地震波



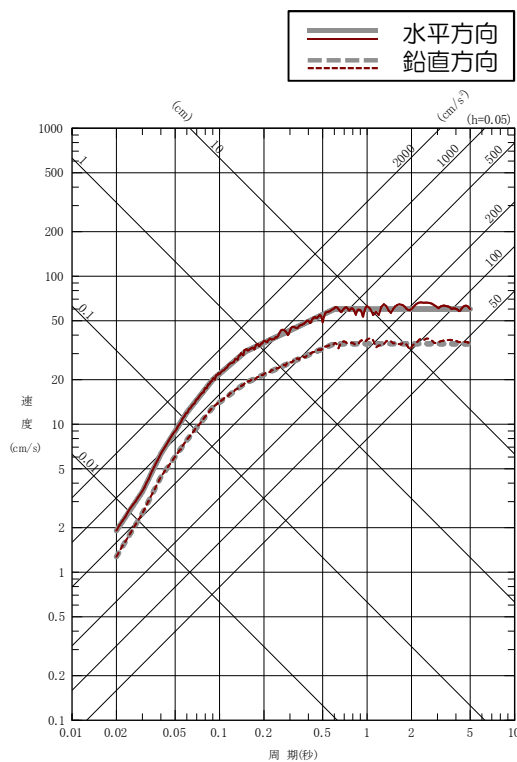
4. 標準応答スペクトルに適合した模擬地震波の作成

■ 標準応答スペクトルに適合した模擬地震波は、複数の方法により作成する。

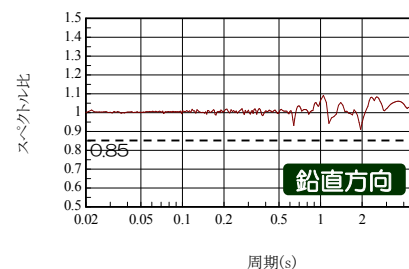
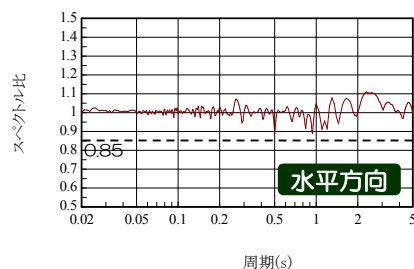
(2) 敷地で得られた観測記録の位相を用いた模擬地震波

- 敷地周辺で発生した2007年新潟県中越沖地震における5号炉の観測記録から推定した解放基盤波の位相を用いて作成
- 応答スペクトル比：0.85以上
- 応答スペクトル強さの比（SI比）：1.0以上

標準応答スペクトルとの適合



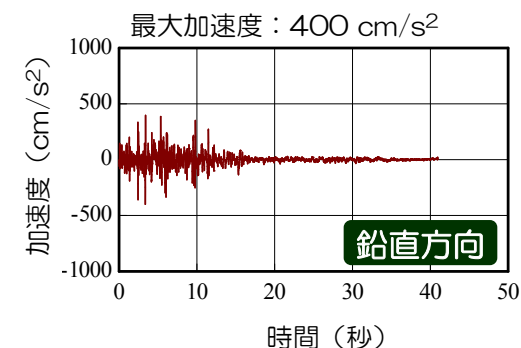
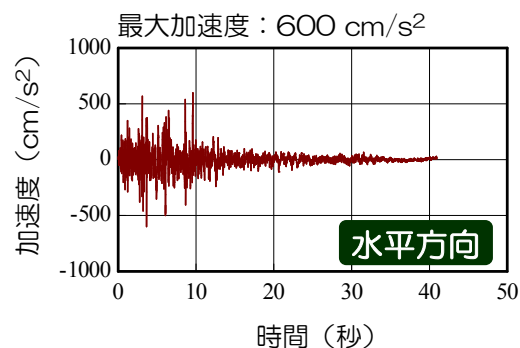
応答スペクトル比



SI比

	SI比
水平方向	1.02
鉛直方向	1.01

作成した模擬地震波

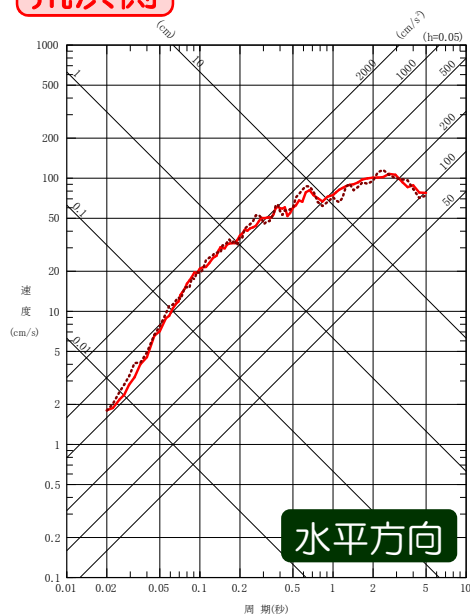


5. 標準応答スペクトルに基づく震源を特定せず策定する地震動

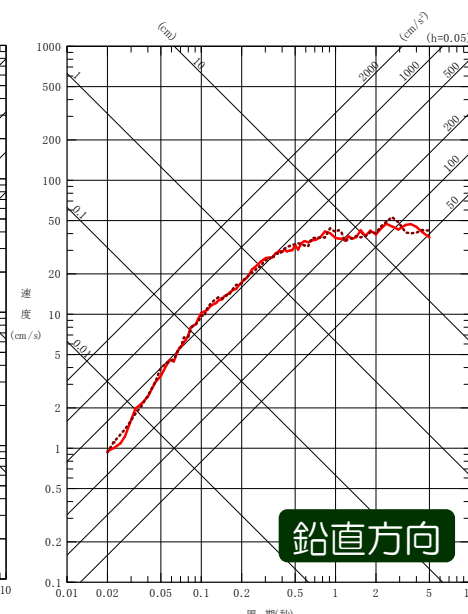
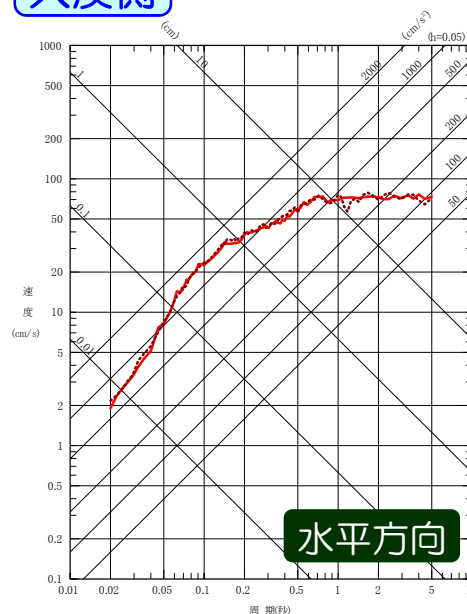
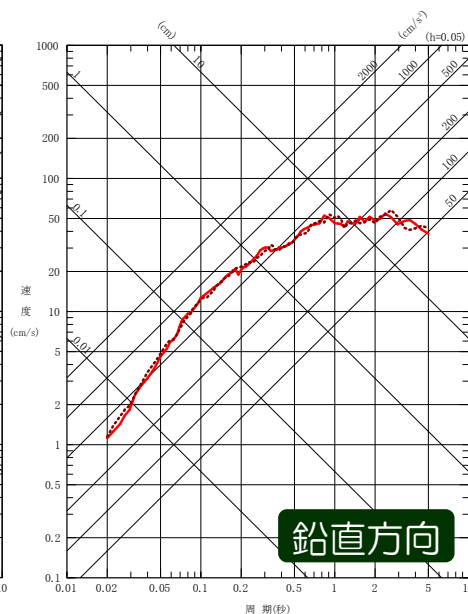
- 設定した地下構造モデルにおいて $V_s=2,200\text{m/s}$ を上回る $V_s=2,350\text{m/s}$ の層の上面に、複数の方法により作成した標準応答スペクトルに適合した模擬地震波を入力して重複反射理論に基づく評価を実施し、標準応答スペクトルに基づく解放基盤表面における応答スペクトルを評価した。
- 一様乱数の位相を用いた模擬地震波による評価結果と観測記録の位相を用いた模擬地震波による評価結果は、ほぼ変わらないことが確認できるものの、解放基盤表面における応答スペクトルの地震動レベルの不確かさを考慮して、これら2つの評価結果を標準応答スペクトルに基づく震源を特定せず策定する地震動として設定する。

— 標準応答スペクトルに基づく評価結果
(一様乱数の位相を用いた評価結果)
 標準応答スペクトルに基づく評価結果
(観測記録の位相を用いた評価結果)

荒浜側



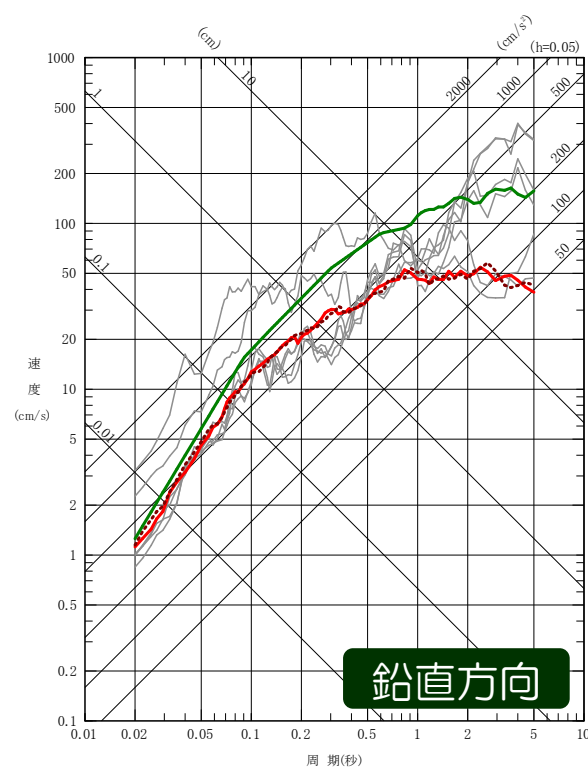
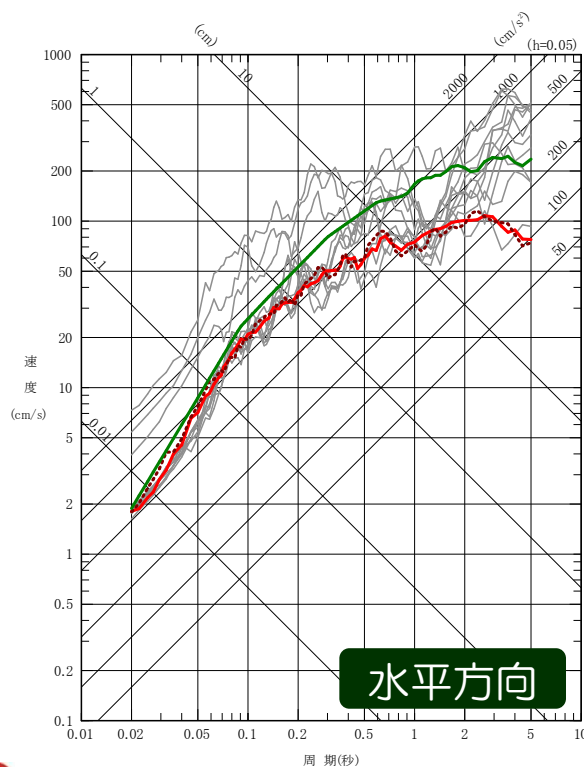
大湊側



6. 基準地震動の策定（荒浜側）

- 荒浜側の標準応答スペクトルに基づく震源を特定せず策定する地震動は、水平方向及び鉛直方向ともに、全ての周期帯で、基準地震動Ss-3を下回る。
- このため、標準応答スペクトルに基づく震源を特定せず策定する地震動は、基準地震動として設定しない。

荒浜側

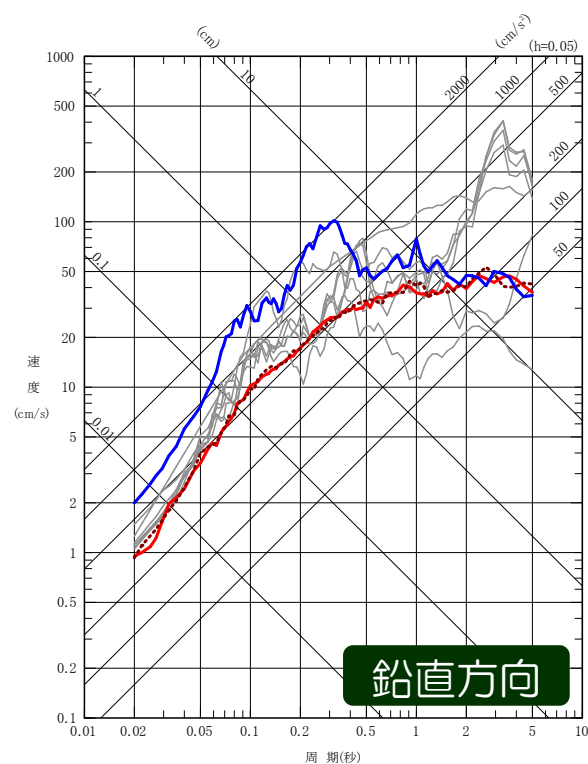
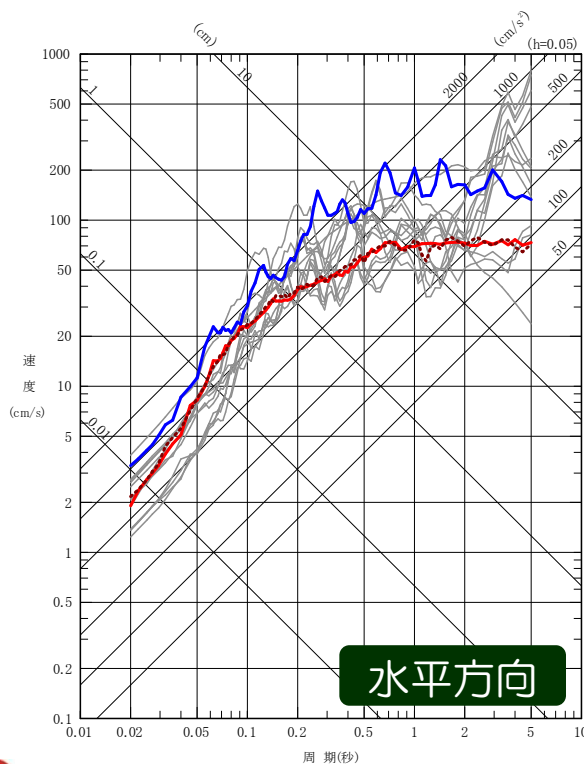


- 基準地震動Ss-3
- 基準地震動Ss-1, Ss-2, Ss-4~Ss-7
- 標準応答スペクトルに基づく震源を特定せず策定する地震動

6. 基準地震動の策定（大湊側）

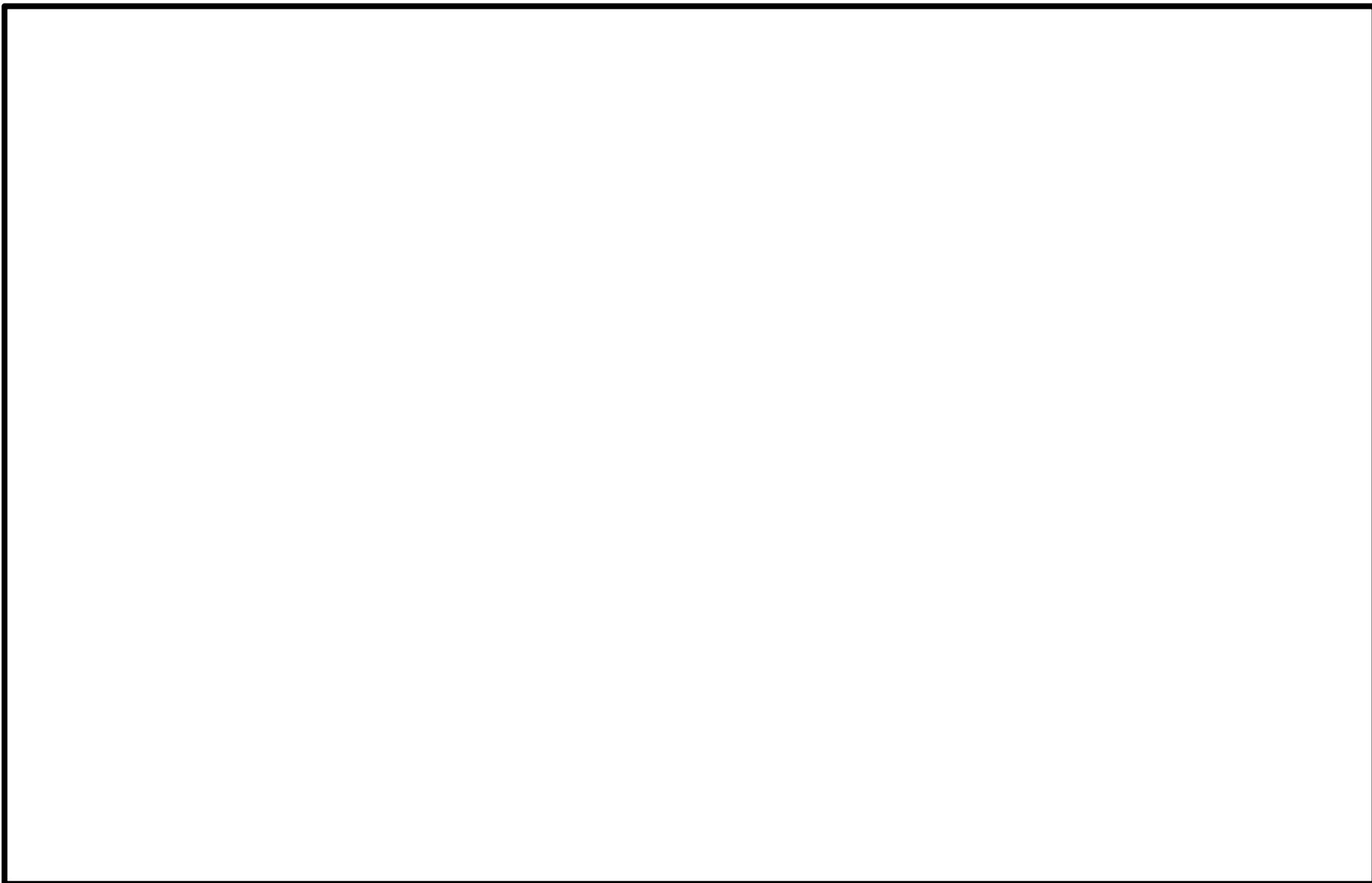
- 大湊側の標準応答スペクトルに基づく震源を特定せず策定する地震動は、水平方向では全ての周期帯で、鉛直方向では周期1.7秒以上の周期帯を除く短周期側で、基準地震動Ss-1を下回る。
- 既許可の施設等については、周期1.7秒以上の長周期側に鉛直方向の固有周期を有する施設等が存在しないことを確認している。このため、既許可の施設等に対して、標準応答スペクトルに基づく震源を特定せず策定する地震動は、基準地震動として設定しない。

大湊側



- 基準地震動Ss-1
- 基準地震動Ss-2～Ss-8
- 標準応答スペクトルに基づく震源を特定せず策定する地震動

7. 特定重大事故等対処施設に用いる基準地震動



【参考文献】

- Noda, S., K. Yashiro, K. Takahashi, M. Takemura, S. Ohno, M. Tohdo and T. Watanabe(2002) : RESPONSE SPECTRA FOR DESIGN PURPOSE OF STIFF STRUCTURES ON ROCK SITES, OECD-NEA Workshop on the Relations between Seismological DATA and Seismic Engineering, Oct.16-18, Istanbul
- 梅田尚子, 小林喜久二(2010) : 地震記録の逆解析による地下構造推定手法の適用性検討, 第13回地震工学シンポジウム論文集
- 気象庁 : 地震月報 (カタログ編) ほか
- 国立研究開発法人 防災科学技術研究所 : 広帯域地震観測網(F-net), <http://www.fnet.bosai.go.jp/>